

Министерство образования и науки Российской Федерации
Федеральное государственное автономное образовательное учреждение
высшего профессионального образования
«Московский физико-технический институт
(государственный университет)»
Факультет аэрофизики и космических исследований
Кафедра вычислительной математики

**Численное моделирование парогравитационной технологии
добычи высоковязких нефтей**

Выпускная квалификационная работа
(бакалаврская работа)

Направление подготовки: 03.03.01 Прикладные математика и физика

Выполнил:

Студент 131 группы _____ Фирсов Егор Игоревич

Научный руководитель:

к.ф.-м.н., доцент _____ Скалько Юрий Иванович

Научный консультант:

д.ф.-м.н. _____ Колдоба Александр Васильевич

Москва 2015

Содержание

1	Введение	3
1.1	Постановка задачи	3
1.2	Обозначения	4
2	Математическая модель	5
2.1	Уравнения модели	5
2.2	Уравнение непрерывности в лагранжевых координатах	7
2.3	Уравнение сохранения энергии в лагранжевых координатах	8
2.4	Закон Дарси в лагранжевых координатах	8
3	Изотермическая фильтрация	10
3.1	Математическая модель	10
3.2	Численный метод	10
3.3	Аналитическое решение	11
3.4	Результаты численных расчетов	11
4	Изотермическая фильтрация с предельной насыщенностью	12
4.1	Математическая модель	12
4.2	Численный метод	13
4.3	Результаты численных расчетов	13
5	Теплопроводность	14
5.1	Математическая модель	14
5.2	Численный метод	14
5.3	Аналитическое решение	15
5.4	Результаты численных расчетов	15
6	Неизотермическая фильтрация с предельной насыщенностью	16
6.1	Математическая модель	16
6.2	Численный метод	16
6.3	Результаты численных расчетов	18
7	Заключение	20

1 Введение

Значительная доля нефтяных запасов России приходится на высоковязкие нефти и битумы. Поэтому проблема добычи высоковязких нефтей и битумов крайне актуальна. Их добыча сложна из-за большой вязкости ($\mu > 30000$ сПуаз).

Существуют технологии помогающие при добыче такой нефти. Одна из них это подвод тепла к области, в том числе с помощью технологии парогравитационного дренажа. Эта технология состоит из двух этапов. Первый этап — подогрев области с помощью циркулирующего внутри труб пара. Второй - закачка горячего пара в пласт.

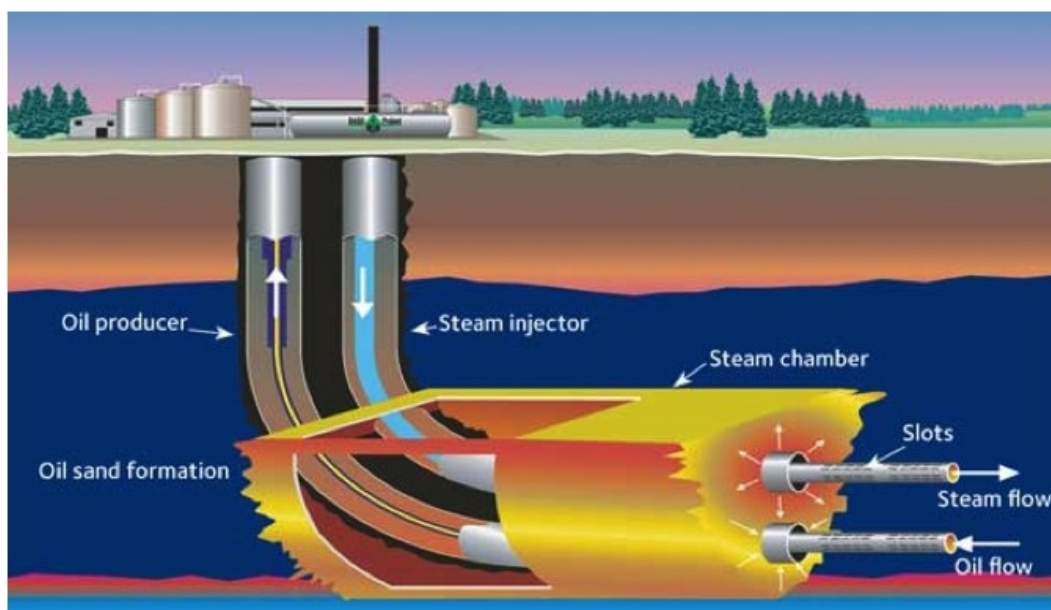


Рис. 1: Схема парогравитационного дренажа

1.1 Постановка задачи

В данной работе рассмотрен первый этап парогравитационного дренажа, то есть подогрев области. В отличие от традиционной задачи фильтрации здесь считается, что скелет не является монолитной структурой, а подвижен. Рассматривается одномерная полубесконечная область, расположенная вертикально. Она заполнена двумя подвижными фазами песком и нефтью. Нефть при пластовой температуре имеет большую вязкость и практически не фильтруется. Нижняя граница области имеет большую температуру. Благодаря конвекции и теплопроводности область начинает прогреваться, вязкость нефти уменьшается, и песок приобретает подвижность и начинает двигаться

относительно нефти под действием силы тяжести.

Во втором разделе предложена одномерная модель процесса и получены уравнения, необходимые для решения поставленной задачи. Далее задача разбита на несколько подзадач: изотермической фильтрации, теплопроводности, изотермической фильтрации с предельной насыщенностью, и наконец решена задача неизотермической фильтрации с предельной насыщенностью. При решении каждой подзадачи были построены вычислительные алгоритмы и разработаны программные комплексы, реализующие их. Также для подзадач изотермической фильтрации и теплопроводности были построены аналитические решения.

1.2 Обозначения

Индекс $a = 1, s$ обозначает жидкую и твердую фазу.

- θ_a — Объемная доля a -ой фазы
- ρ_a — Плотность a -ой фазы ($[\rho_a] = \text{Кг/м}^3$)
- e_a — Плотность энергии a -ой фазы ($[e_a] = \text{Дж/м}^3$)
- T — Температура ($[T] = \text{К}$)
- λ — Коэффициент теплопроводности среды ($[\lambda] = \text{Дж/(м с К)}$)
- c_a — Удельная теплоемкость a -ой фазы ($[c_a] = \text{Дж/К}$)
- V_a — Скорость a -ой фазы ($[V_a] = \text{м/с}$)
- W — Скорость фильтрации ($[W] = \text{м/с}$)
- h_a — плотность энтальпии ($[h_a] = \text{Дж/м}^3$)
- ψ - отношение объемных долей двух фаз ($\psi = \frac{\theta_l}{\theta_s}$)

2 Математическая модель

2.1 Уравнения модели

Выпишем уравнения необходимые для решения задачи. Это уравнение непрерывности, уравнение сохранения энергии и определяющее соотношение в виде закона Дарси. z — вертикальная координата, t — время. В уравнениях присутствуют 2 индекса — l и s , означающие, что данная величина относится к жидкой фазе (нефти) или твердой фазе (песку) соответственно. θ — объемная доля соответствующей фазы, V — скорость.

Уравнения непрерывности жидкой и твердой фаз, при условии что источников вещества нет, выглядят следующим образом:

$$\frac{\partial \rho_l \theta_l}{\partial t} + \frac{\partial V_l \theta_l \rho_l}{\partial z} = 0 \quad (1)$$

$$\frac{\partial \rho_s \theta_s}{\partial t} + \frac{\partial V_s \theta_s \rho_s}{\partial z} = 0 \quad (2)$$

Сумма объемных долей жидкой и твердой фазы равна единице.

$$\theta_l + \theta_s = 1 \quad (3)$$

Считаем, что источники энергии отсутствуют. В этом случае уравнение сохранения энергии принимает следующий вид:

$$\begin{aligned} \frac{\partial E}{\partial t} + \frac{\partial Q}{\partial z} &= 0 \\ E &= \theta_l e_l + \theta_s e_s \\ Q &= \theta_l h_l V_l + \theta_s h_s V_s - \lambda \frac{\partial T}{\partial z} \end{aligned} \quad (4)$$

Считаем, что твердая фаза несжимаема

$$\rho_s = \text{const} \quad (5)$$

Тогда уравнение (2), принимает вид

$$\frac{\partial \theta_s}{\partial t} + \frac{\partial \theta_s V_s}{\partial z} = 0 \quad (6)$$

Учитывая (6) перейдем к Лагранжевой координате dx связанной с твердой фазой

$$dx = \theta_s dz - \theta_s V_s dt \quad (7)$$

Чтобы переписать наши уравнения в лагранжевых координатах посмотрим как связаны дифференцирование по z и по x

$$\begin{aligned} \left(\frac{\partial f}{\partial t} \right)_z &= \frac{\partial(f, z)}{\partial(t, z)} \\ \partial(f, z) &= \frac{1}{\theta_s} \partial(f, x) + V_s \partial(f, t) \\ \frac{\partial(f, z)}{\partial(t, z)} &= \frac{1}{\theta_s} \frac{\partial(f, x)}{\partial(t, z)} + V_s \frac{\partial(f, t)}{\partial(t, z)} \end{aligned} \quad (8)$$

Для $f = t$

$$\partial(t, z) = \frac{1}{\theta_s} \partial(t, x) + V_s \partial(t, t) = \frac{1}{\theta_s} \partial(t, x)$$

Из (8), используя предыдущее равенство получаем

$$\left(\frac{\partial f}{\partial t} \right)_z = \frac{\partial(f, x)}{\partial(t, x)} + V_s \theta_s \frac{\partial(f, t)}{\partial(t, x)}$$

Далее получаем

$$\begin{aligned} \left(\frac{\partial f}{\partial t} \right)_z &= \left(\frac{\partial f}{\partial t} \right)_x - V_s \theta_s \left(\frac{\partial f}{\partial x} \right)_t \\ \left(\frac{\partial f}{\partial z} \right)_t &= \theta_s \left(\frac{\partial f}{\partial x} \right)_t \end{aligned} \quad (9)$$

Применим полученные равенства к уравнению непрерывности для твердой фазы (6). Переходим к новой переменной.

$$\frac{\partial \theta_s}{\partial t} - V_s \theta_s \frac{\partial \theta_s}{\partial x} + \theta_s \frac{\partial V_s \theta_s}{\partial x} = 0$$

Расписывая третий член, и сокращая подобные члены, получаем

$$\frac{\partial V_s}{\partial x} + \frac{1}{\theta_s^2} \frac{\partial \theta_s}{\partial t} = 0$$

Отсюда

$$\frac{\partial V_s}{\partial x} = \frac{\partial}{\partial t} \frac{1}{\theta_s} \quad (10)$$

2.2 Уравнение непрерывности в лагранжевых координатах

Теперь используя полученные равенства перепишем уравнение непрерывности для жидкой фазы в новых переменных. Преобразуем (1) добавив и вычтя член $V_s \frac{\partial \rho_l \theta_l}{\partial z}$

$$\frac{\partial \rho_l \theta_l}{\partial t} + V_s \frac{\partial \rho_l \theta_l}{\partial z} - V_s \frac{\partial \rho_l \theta_l}{\partial z} + \frac{\partial V_l \theta_l \rho_l}{\partial z} = 0$$

Сгруппировав члены и используя (9), получаем:

$$\left(\frac{\partial \rho_l \theta_l}{\partial t} \right)_x - V_s \theta_s \left(\frac{\partial \rho_l \theta_l}{\partial x} \right)_t + \theta_s \left(\frac{\partial \rho_l \theta_l (V_l - V_s)}{\partial x} \right)_t + \rho_l \theta_l \theta_s \left(\frac{\partial V_s}{\partial x} \right)_t + V_s \theta_s \left(\frac{\partial \rho_l \theta_l}{\partial x} \right)_t = 0$$

Перепишем последнее уравнение, используя (10) и поделив на θ_s

$$\frac{1}{\theta_s} \frac{\partial \rho_l \theta_l}{\partial t} + \frac{\partial \rho_l \theta_l (V_l - V_s)}{\partial x} + \rho_l \theta_l \frac{\partial}{\partial t} \frac{1}{\theta_s} = 0$$

Сгруппировав первый и последний члены выпишем

$$\frac{\partial}{\partial t} \frac{\rho_l \theta_l}{\theta_s} + \frac{\partial}{\partial x} \rho_l \theta_l (V_l - V_s) = 0 \quad (11)$$

Обозначим отношение объемных долей жидкой и твердой фазы за ψ :

$$\psi = \frac{\theta_l}{\theta_s}$$

Все величины θ_l , θ_s , ψ - выражаются друг через друга, поэтому возможно использование любой из них. Для удобства будем использовать ψ .

Введем скорость фильтрации W как

$$W = \theta_l (V_l - V_s) \quad (12)$$

Тогда в предположении, что жидкая фаза не сжимаема, получаем уравнение непре-

рывности в лагранжевых координатах

$$\frac{\partial \psi}{\partial t} + \frac{\partial}{\partial x} W = 0 \quad (13)$$

2.3 Уравнение сохранения энергии в лагранжевых координатах

Перепишем уравнение сохранения энергии в лагранжевых переменных. Используем (4) и (9)

$$\frac{\partial E}{\partial t} - V_s \theta_s \frac{\partial E}{\partial x} + \theta_s \frac{\partial Q}{\partial x} = 0$$

Отсюда

$$\frac{1}{\theta_s} \frac{\partial E}{\partial t} + \frac{\partial}{\partial x} (Q - V_s E) + E \frac{\partial V_s}{\partial x} = 0$$

Используем (10), группируя члены получаем

$$\frac{\partial}{\partial t} \frac{E}{\theta_s} + \frac{\partial}{\partial x} (Q - V_s E) = 0 \quad (14)$$

$$Q - V_s E = \theta_l e_l V_l + \theta_s e_s V_s + \theta_l P + \theta_s P - V_s (\theta_l e_l + \theta_s e_s) - \lambda \theta_s \frac{\partial T}{\partial x}$$

Сокращаем подобные члены, учитываем (13), получаем уравнение сохранения энергии в новых переменных

$$\frac{\partial e_s + \psi e_l}{\partial t} + \frac{\partial}{\partial x} (e_l W - \lambda \theta_s \frac{\partial T}{\partial x}) = 0 \quad (15)$$

Это уравнение наряду с (13) являются основными для решения поставленной задачи. Кроме них нужно определяющее соотношение для замыкания системы.

2.4 Закон Дарси

Выпишем закон Дарси для жидкой фазы [1].

$$W = -\frac{Kk(\theta)}{\eta} \left(\frac{\partial p}{\partial z} - \rho_l g \right) \quad (16)$$

Здесь K — абсолютная проницаемость (она константа, далее она будет опускаться и просто входить в проницаемость k), $k(\theta)$ — проницаемость, функция от объемных долей

жидкой и твердой фаз, p — давление.

Предположим, что процесс развивается квазистатически, т. е. сила тяжести действующая на смесь фаз, компенсирует давление:

$$\frac{\partial p}{\partial z} = (\rho_l \theta_l + \rho_s \theta_s) g \quad (17)$$

Из (17) и (16) получаем:

$$W = -\theta_s \frac{k(\theta)}{\eta} (\rho_l - \rho_s) g \quad (18)$$

Для расчета проницаемости используется комбинация формул. В пределе малой объемной доли твердой фазы, когда взаимодействием между частицами можно пренебречь, используется следствие формулы Стокса:

$$k = 2K \frac{\psi^2}{(1 + \psi)^2}$$

В пределе большой объемной доли твердой фазы, когда учитываются взаимодействие между частицами используется формула Кармана-Козени:

$$k = K \frac{\psi^3}{(1 + \psi)^2}$$

Здесь и далее θ_s внесена в проницаемость k .

Комбинируем эти формулы (берем среднее гармоническое). Получаем:

$$k = K \frac{4\psi^3}{(1 + \psi)^2(2 + \psi)} \quad (19)$$

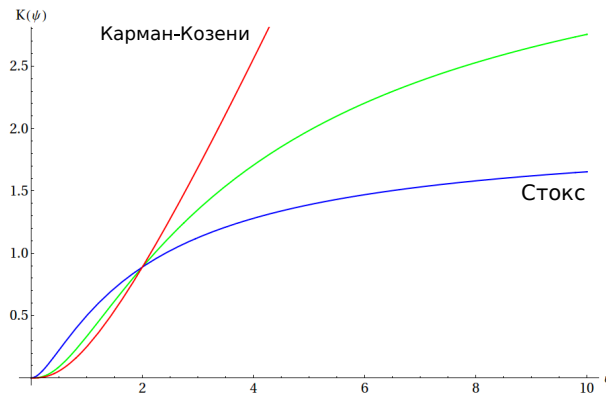


Рис. 2: График функции проницаемости

3 Изотермическая фильтрация

3.1 Математическая модель

Для решения задачи изотермической фильтрации достаточно уравнения непрерывности, закона Дарси и выражения для проницаемости. Выпишем их:

$$\begin{aligned}\frac{\partial \psi}{\partial t} + \frac{\partial}{\partial x} W &= 0 \\ W &= \frac{k(\psi)}{\eta} (\rho_s - \rho_l) g \\ k &= K \frac{4\psi^3}{(1 + \psi)^2 (2 + \psi)}\end{aligned}\tag{20}$$

3.2 Численный метод

Запишем разностную схему

- Вычисляем проницаемость на всей области.

$$k_i = k(\psi_i), \quad i = 0, \dots, M\tag{21}$$

- Вычисляем скорости фильтрации на границах всех ячеек. Используем противопоточную аппроксимацию. То есть сносим нужные значения из ячейки расположенной против потока. Считаем, что скорость фильтрации направлена всегда вверх, поэтому на границе $i + \frac{1}{2}$ сносим проницаемость из ячейки i .

$$W_{i+\frac{1}{2}} = \frac{k(\psi_i)}{\eta} (\rho_s - \rho_l) g, \quad i = 0, \dots, M - 1\tag{22}$$

- Переходим на новый слой по времени, вычисляем отношение насыщенностей в каждой ячейке

$$\psi_i^{n+1} = \psi_i^n - \tau \frac{W_{i+1/2} - W_{i-1/2}}{h}, \quad i = 1, \dots, M\tag{23}$$

3.3 Аналитическое решение

Подставим выражение для скорости фильтрации и проницаемости в (20), переходим к квазилинейной форме уравнения:

$$\frac{\partial \psi}{\partial t} - aK \frac{\partial k}{\partial \psi} \frac{\partial \psi}{\partial x} = 0, \text{ где } a = \frac{8(\rho_l - \rho_s)g}{\eta} \quad (24)$$

Гиперболическое уравнение (24) решается методом характеристик:

$$\xi = \frac{x}{t} = aK \frac{\partial k}{\partial \psi} = aK \frac{2\psi^3 + 3\psi^2}{(1 + \psi)^3(2 + \psi)^2}$$

Начальное условие $\psi_0 = 5$ и граничное $\psi_1 = 0$ означают, что в области находится смесь жидкости и песка. Снизу — непроницаемая для жидкости и песка граница. Характеристики (24) показаны на рисунке 3

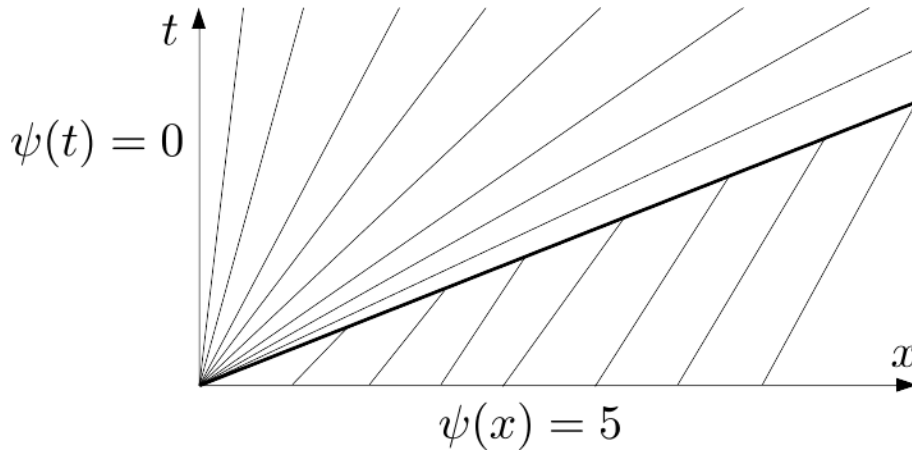


Рис. 3: Характеристики

3.4 Результаты численных расчетов

На рисунке 4 показано распределение объемной доли флюида. По оси абсцисс отложены лагранжевы координаты. Синим пунктиром изображено аналитическое решение. Красной сплошной линией — численное решение. На рисунке видно три различных области: слева центрированная волна, где уплотняется песок, затем скачок и стационарная область. Из графика понятно, что решение разностной задачи неплохо аппроксимирует аналитическое решение, немного размывается рядом со скачком, что является последствием использования схемы первого порядка.

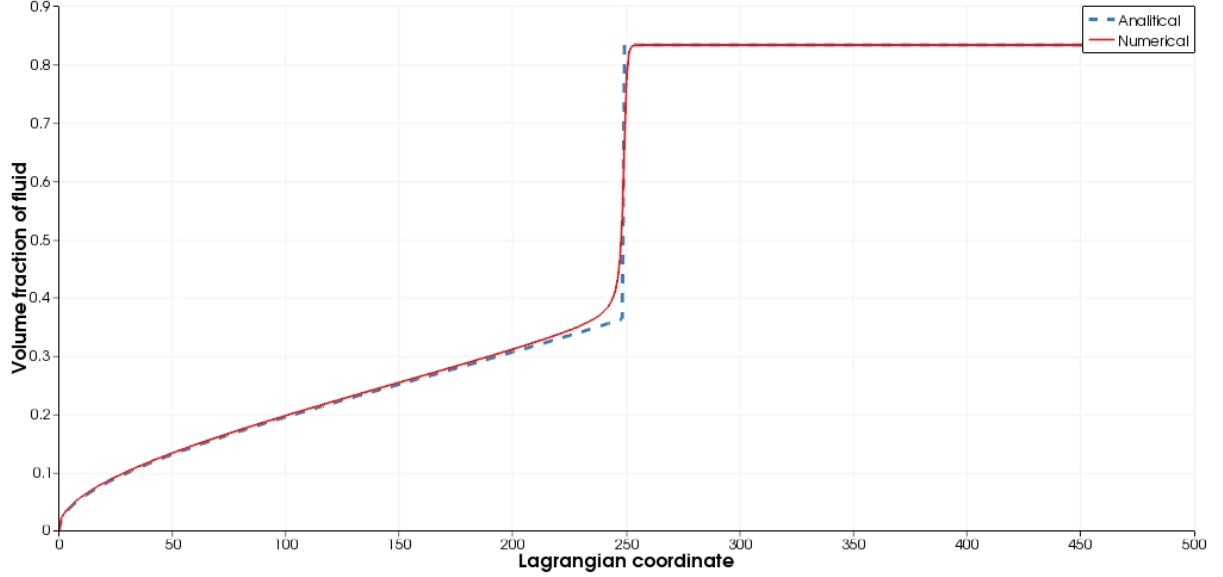


Рис. 4: Распределение объемной доли флюида

4 Изотермическая фильтрация с предельной насыщенностью

4.1 Математическая модель

Вообще объемная доля твердой фазы не может достигнуть единицы. В любом случае останется пространство между частицами, заполненное флюидом [2]. Получаем два случая: первый, когда объемная доля твердой фазы меньше предельной. В этом случае верно следствие закона Дарси, приведенное в задаче изотермической фильтрации. Второй случай реализуется, когда объемная доля твердой фазы достигает предельной. Тогда уравнения принимают вид стандартной однофазной фильтрации.

$$\begin{cases} \theta_s < \theta_s^*, & W = \frac{k(\psi)}{\eta}(\rho_s - \rho_l)g \\ \theta_s = \theta_s^*, & \frac{\partial W}{\partial x} = 0 \end{cases} \quad (25)$$

Уравнение непрерывности и выражение для проницаемости остаются теми же, что и для задачи изотермической фильтрации(20).

4.2 Численный метод

Вычисляем проницаемость на всей области.

$$k_i = k(\psi_i), \quad i = 0, \dots, M \quad (26)$$

Далее вычисляем скорость фильтрации на границе очередной ячейки. Как и ранее используется противопоточная аппроксимация.

$$W_{i+1/2} = \frac{k(\psi_i)}{\eta} (\rho_s - \rho_l) g \quad (27)$$

Вычисляем отношение насыщенных в очередной ячейке.

$$\psi_i^{n+1} = \psi_i^n - \tau \frac{W_{i+1/2} - W_{i-1/2}}{h} \quad (28)$$

Существование предельной объемной доли твердой фазы, больше которой оно не может вырасти, означает существование предельного отношения объемных долей, меньше которого оно не может упасть.

Если ψ больше предельного, переходим на следующую ячейку.

Если же наоборот оно опустилось ниже предельного, приравниваем его предельному и пересчитываем скорость фильтрации, используя уравнение непрерывности (28) с известным отношением объемных долей равным предельному.

$$\begin{aligned} \psi_i^{n+1} &= \psi^* \\ W_{i+1/2} &= \frac{(\psi_i^n - \psi^*)h}{\tau} + W_{i-1/2} \end{aligned} \quad (29)$$

4.3 Результаты численных расчетов

На графике видно четыре различных области. Первая — область, где объемная доля песка достигла предельной. Далее центрированная волна, заетм скачок и выход на стационарную область, которую ещё не достигло возмущение.

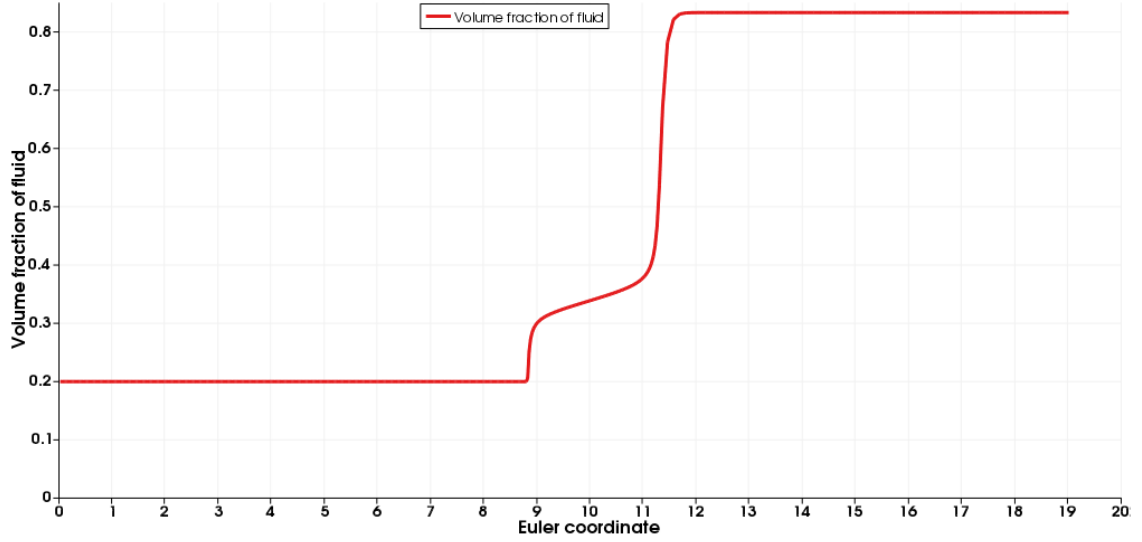


Рис. 5: Распределение объемной доли флюида

5 Теплопроводность

5.1 Математическая модель

Решим следующую задачу. Пусть объемная доля твердой фазы во всей рассматриваемой области достигла предельного значения. И на нижней границе задана скорость фильтрации равная нулю. Тогда скорость фильтрации во всей области равна нулю. Температура границы больше температуры области. Уравнение сохранения энергии (15) принимает вид:

$$(c_l\psi + c_s)\frac{\partial T}{\partial t} = -\theta_s\frac{\partial q}{\partial x}$$

$$q = -\lambda\frac{\partial T}{\partial x}$$

5.2 Численный метод

Для решения используется явная схема.

$$q_{m+1/2} = -\lambda\frac{T_{m+1} - T_m}{h}$$

$$T_m^{m+1} = -\tau\theta_s\frac{q_{m+1/2} - q_{m-1/2}}{h(c_l\psi + c_s)} + T_m^n \quad (30)$$

5.3 Аналитическое решение

Перепишем уравнение сохранения энергии в виде уравнения теплопроводности и решим его аналитически:

$$\frac{\partial T}{\partial t} = \varkappa \frac{\partial^2 T}{\partial x^2}, \text{ где } \varkappa = \frac{\lambda \theta_s}{\rho_l c_l \psi + \rho_s c_s} \quad (31)$$

Его решение имеет вид:

$$T(x, t) = T_1 - T_0 - T_0 \operatorname{erfc} \left(\frac{x}{\sqrt{4\varkappa t}} \right) \quad (32)$$

где $\operatorname{erfc}(x)$ - Дополнительная функция ошибок:

$$\operatorname{erfc}(x) = \int_x^{+\infty} e^{-\eta^2} d\eta$$

5.4 Результаты численных расчетов

Зеленым изображено численне решение, черным пунктиром — аналитическое. Из графика видно что численное решение хорошо сходится с аналитическим.

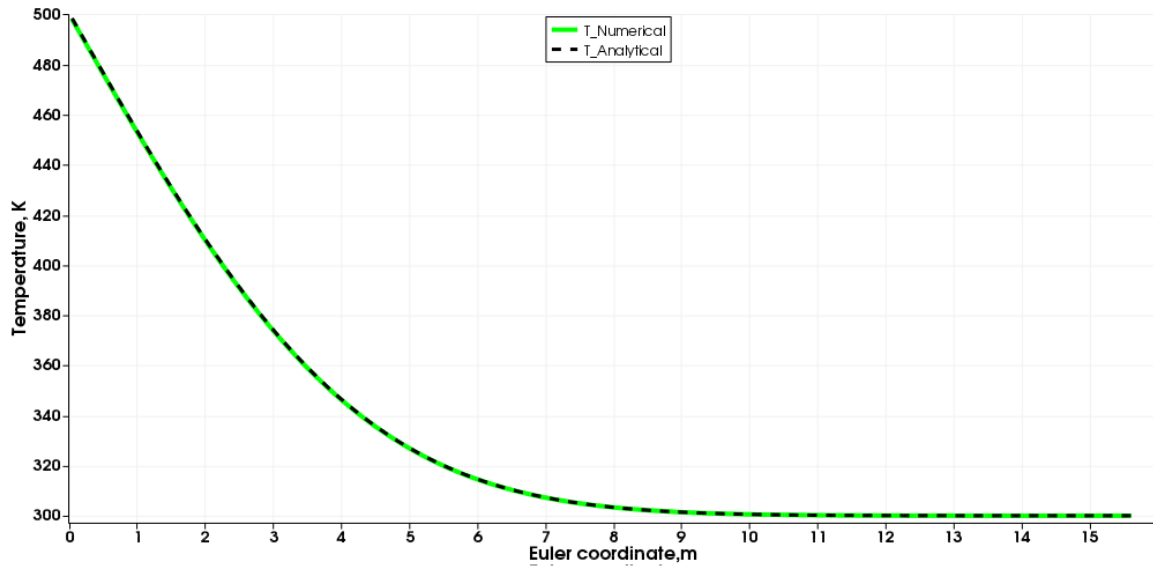


Рис. 6: Распределение Температуры

6 Неизотермическая фильтрация с предельной насыщенностью

6.1 Математическая модель

Выпишем ещё раз все уравнения.

$$\frac{\partial \psi}{\partial t} + \frac{\partial}{\partial x} W = 0$$

Ранее коэффициент вязкости η был константой. Теперь же он зависит от температуры по модельному экспоненциальному закону.

$$\eta = e^{\alpha(T-T_0)} \quad (33)$$

Этот закон — частный случай закона Фогеля. Он хорошо аппроксимирует поведение вязкости нефти на небольшом промежутке температур.

Закон Дарси имеет такой же вид как и в прошлом разделе.

$$\begin{cases} \theta_s < \theta_s^*, & W = \frac{k(\psi)}{\eta(T)}(\rho_s - \rho_l)g \\ \theta_s = \theta_s^*, & \frac{\partial W}{\partial x} = 0 \end{cases}$$

Для расчета температуры понадобится уравнение сохранения энергии (15). Распишем его:

$$\frac{\partial(e_l \psi + e_s)}{\partial t} + \frac{\partial}{\partial x}(e_l W - \lambda \theta_s \frac{\partial T}{\partial x}) = 0$$

где $e_l = \rho_l c_l T$, $e_s = \rho_s c_s T$.

6.2 Численный метод

Для вычисления потоков тепла между ячейками и температуры на границах, как и для скорости фильтрации используем противопоточную аппроксимацию.

1. Вычисляем вязкость на всей области :

$$\eta_m = e^{-\alpha(T_m^n - T_0)}, \quad m = 0, \dots, M$$

2. Вычисляем относительную проницаемость:

$$k_m = k(\psi_m), \quad m = 0, \dots, M$$

3. Вычисляем потоки тепла между ячейками:

$$q_{m+\frac{1}{2}} = -\lambda(\theta_s)_m^n \frac{T_{m+1}^n - T_m^n}{h}$$

Теперь проходим не весь временной слой сразу, а идем по одной ячейке, что бы корректировать скорость фильтрации в случае достижения предельной объемной доли.

4. Вычисляем скорость фильтрации на очередной границе ячеек:

$$W_{m+\frac{1}{2}} = -\frac{k_{m+\frac{1}{2}}}{(\eta)_{m+\frac{1}{2}}}(\rho_s - \rho_l)g$$

5. Вычисляем отношение объемных долей:

$$\psi_m^{n+1} = \psi_m^n - \tau \frac{W_{m+\frac{1}{2}} - W_{m-\frac{1}{2}}}{h}$$

6. Если отношение объемных долей опустилось меньше предельной, приравниваем его предельному и корректируем скорость фильтрации:

$$\begin{aligned} \psi_i^{n+1} &= \psi^* \\ W_{i+1/2} &= \frac{(\psi_i^n - \psi^*)h}{\tau} + W_{i-1/2} \end{aligned}$$

7. Вычисляем температуру на новом слое.

$$T_m^{n+1} = \left(\frac{1}{\psi_m^{n+1} c_l + c_s} \right) \left((\psi_m^n c_l + c_s) - \tau \frac{q_{m+\frac{1}{2}} - q_{m-\frac{1}{2}}}{h} - \tau \frac{c_l T_{m+\frac{1}{2}}^n W_{m+\frac{1}{2}} - c_l T_{m-\frac{1}{2}}^n W_{m-\frac{1}{2}}}{h} \right) \quad (34)$$

Уравнение непрерывности является гиперболическим. Для устойчивости необходимо соблюдение условия Куранта. Расчитаем шаг по времени необходимый для устой-

чивости схемы для уравнения непрерывности:

$$\frac{\tau a_{max}}{h} < \frac{1}{2}, \quad a_{max} = \left| \frac{\partial W}{\partial \psi} \right|_{max}$$

$$\tau_1 = \frac{h}{2a_{max}}, \quad a_{max} = 8K(\rho_s - \rho_l)g \left| \frac{2\psi^3 + 3\psi^2}{\eta(1 + \psi)^3(2 + \psi)^2} \right|_{max}$$

6.3 Результаты численных расчетов

На графике — распределение объемной доли жидкой фазы в какой-то момент времени, красным — с подогревом области, синим — без него. Видно что в случае, когда область подогревается снизу, жидкая фаза продвинулась дальше. Из-за нагрева вязкость жидкой фазы уменьшается, она начинает фильтроваться быстрее, поэтому на температурном фронте появляется скачок объемной доли флюида, как результат того что выше температурного фронта жидкая фаза фильтруется медленнее а ниже быстрее.

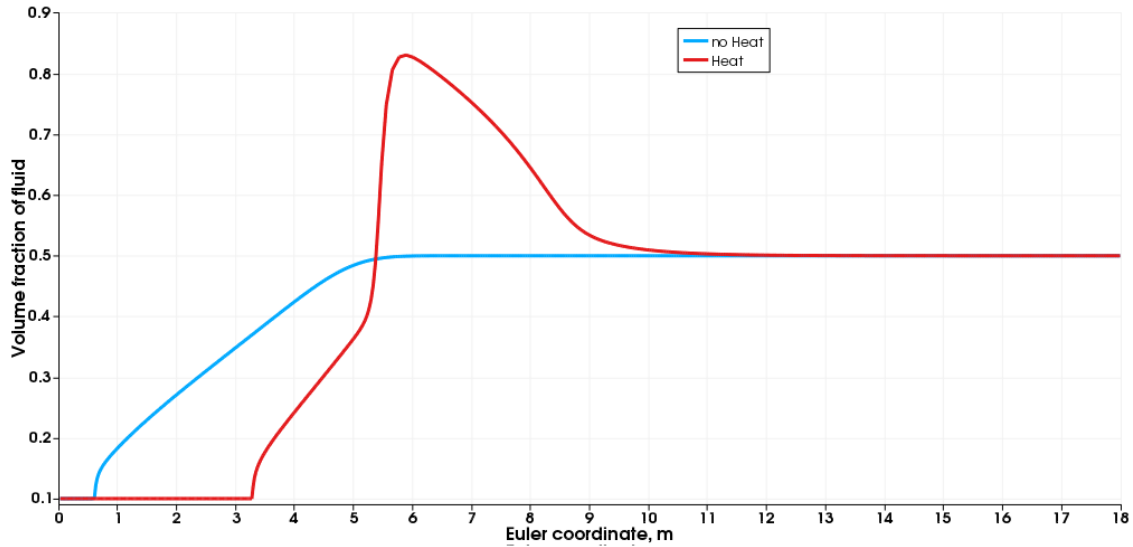


Рис. 7: Распределение объемной доли флюида

Далее график распределения температуры подогреваемой области в тот же момент времени. Он отличается от стандартного вида теплопроводности, из-за наличия конвективных членов в уравнении сохранения энергии.

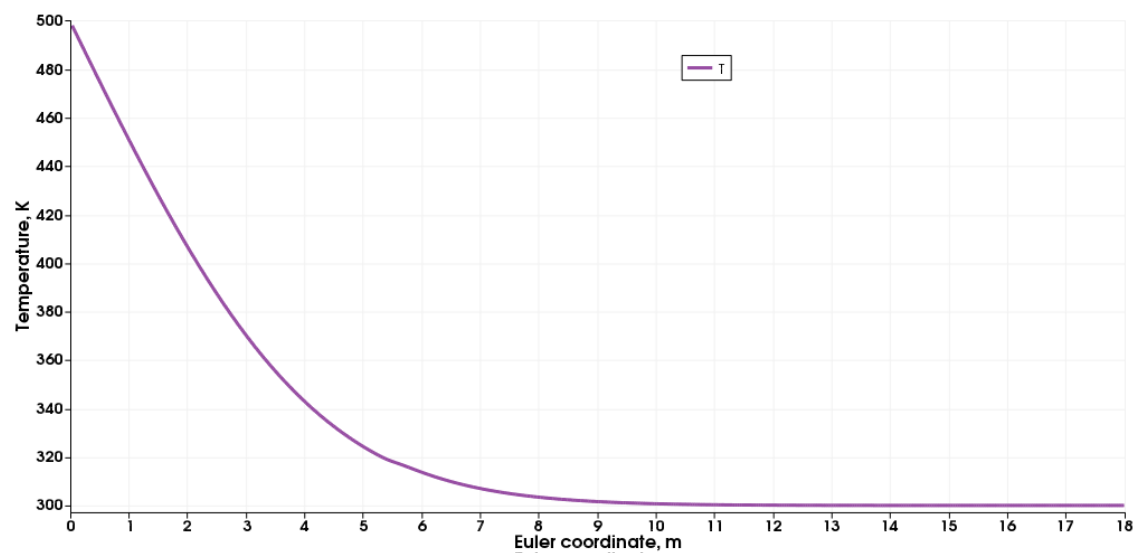


Рис. 8: Распределение температуры

Вязкость зависит по экспоненциальному закону от температуры.

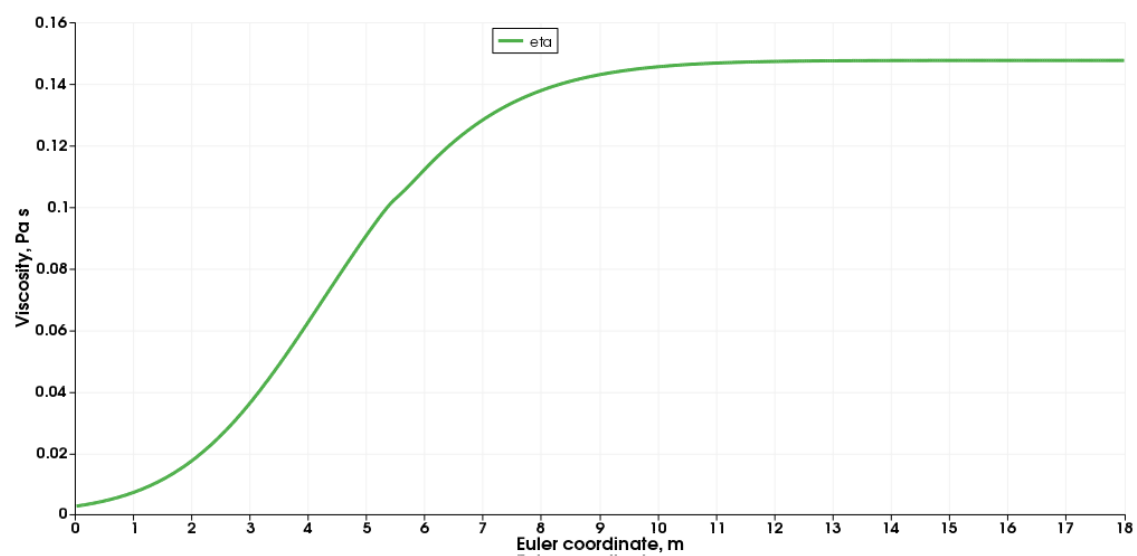


Рис. 9: Распределение вязкости

7 Заключение

Основные результаты:

- Построена математическая модель задачи неизтермической фильтрации с предельной насыщенностью
- Разработан вычислительный алгоритм моделирующий эту задачу.
- Были построены аналитические решения для задач теплопроводности и изотермической фильтрации для тестирования программной реализации.
- Проведены расчеты.
- Далее планируется смоделировать второй этап парогазового воздействия — закачку пара в двумерной постановке.

Список литературы

- [1] *Кондауров В. И.* Механика и термодинамика насыщенной пористой среды. — МФТИ М., 2007. — С. 309.
- [2] *Доброго К.В, Жданок С.А.* Физика фильтрационного горения газов. — Минск, 2002. — С. 203.